

## · 药物研究 ·

# 大黄酸对大鼠肝细胞色素 P<sub>450</sub> 3A 酶活性的抑制 \*

李丹<sup>1,2</sup>, 韩永龙<sup>1,2,3</sup>, 孟祥乐<sup>1,2</sup>, 孙习鹏<sup>1</sup>, 余奇<sup>1</sup>, 郭澄<sup>1,2</sup>

(1. 上海市第六人民医院药剂科, 200233; 2. 上海中医药大学, 201203; 3. 大庆油田总医院临床药学科, 黑龙江 163001)

**[摘要]** 目的 研究大黄酸对大鼠肝微粒体细胞色素 P<sub>450</sub> 3A(CYP3A)酶活性的影响。方法 在体外大鼠肝微粒体孵育体系中加入底物睾酮和不同浓度的大黄酸, 采用高效液相色谱仪测定睾酮的羟基化代谢产物 6β-羟基睾酮的含量, 计算 CYP3A 酶活性来反映大黄酸对 CYP3A 酶的抑制效果。结果 大鼠肝微粒体孵育体系中, 大黄酸对 CYP3A 酶活性有抑制作用, 其半数抑制浓度( $IC_{50}$ )和  $K_i$  值分别为 36.74, 20.73  $\mu\text{mol} \cdot \text{L}^{-1}$ 。结论 在大鼠肝微粒体体外孵育系统中, 大黄酸对 CYP3A 酶具有抑制作用。

**[关键词]** 大黄酸; 肝微粒体; CYP3A 酶; 抑制作用

**[中图分类号]** R282.71; R285.5

**[文献标识码]** A

**[文章编号]** 1004-0781(2010)03-0282-04

## Inhibitory Effect of Rhein on Cytochrome P<sub>450</sub> Activity of Rat Liver Microsomes

LI Dan<sup>1,2</sup>, HAN Yong-long<sup>1,2,3</sup>, MENG Xiang-le<sup>1,2</sup>, SUN Xi-peng<sup>1</sup>, YU Qi<sup>1</sup>, GUO Cheng<sup>1,2</sup> (1. Department of Pharmacy, the Sixth People's Hospital of Shanghai City, Shanghai 200233, China; 2. Shanghai University of Traditional Chinese Medicine, Shanghai 201203, China; 3. Department of Clinic Pharmacy, Daqing Oilfield General Hospital, Daqing 163001, Heilongjiang, China)

**ABSTRACT Objective** To evaluate the effects of rhein on the activity of cytochrome P<sub>450</sub> 3A(CYP3A) enzyme of rat liver microsomes. **Methods** Rat liver microsomes were incubated with various concentrations of rhein and testosterone *in vitro*. The inhibition of CYP3A activity by rhein was evaluated by the amount of 6β-hydroxytestosterone which was determined by HPLC. **Results** Rhein suppressed the CYP3A activity in rat liver microsomes, with  $IC_{50} = 36.74 \mu\text{mol} \cdot \text{L}^{-1}$  and  $K_i = 20.73 \mu\text{mol} \cdot \text{L}^{-1}$ , respectively. **Conclusion** Rhein could decrease the enzyme activity of rat liver CYP3A *in vitro*.

**KEY WORDS** Rhein; Liver microsomes; CYP3A; Inhibition

大黄酸(rhein, 4, 5-dihydroxyanthraquinone, RH)属单蒽核类1,8-二羟基蒽醌衍生物, 是从大黄、何首乌、虎杖等多种传统中药分离提纯出的有效成分。近年来发现RH具有广泛的药理活性, 如保肝、抗炎、抗氧化、抗肿瘤、降糖、调脂等等<sup>[1~3]</sup>。细胞色素P<sub>450</sub>(cytochrome P<sub>450</sub>, CYP)是人体内一种重要的代谢酶。临幊上>90%的药物要由CYP的6个重要亚型(1A2, 2C9, 2C19, 2D6, 2E1和3A4)代谢, 其中CYP代谢的药物中50%的药物是由CYP3A4代谢<sup>[4,5]</sup>。在人体内, CYP易被联合使用的药物诱导或抑制, 从而

[收稿日期] 2009-06-24 [修回日期] 2009-09-01

[基金项目] \*上海市药学会上海医院药学科研基金资助项目(基金编号:2008-YY-0227)

[作者简介] 李丹(1986-), 女, 湖北孝感人, 在读硕士, 从事中药药物代谢及药动学研究。电话:021-64369181-8789, E-mail:lidandoren@126.com。

[通讯作者] 郭澄, 教授, 主任药师, 博士生导师, 博士, 从事中药学与临床药理学研究。电话:021-64369181-8098, E-mail:gboss@sina.com。

导致药物浓度发生明显的变化, 产生增效或毒副作用。笔者发现只有日本学者IWATA等<sup>[6]</sup>报道用人肝微粒体研究发现大黄的水提物对CYP3A4酶体外存在抑制作用, 其 $IC_{50}$ 值为77  $\mu\text{g} \cdot \text{mL}^{-1}$ , 对CYP2D6酶体外也存在抑制作用, 其半数抑制浓度( $IC_{50}$ )值为64  $\mu\text{g} \cdot \text{mL}^{-1}$ 。目前, 大黄在临幊上使用非常广泛, 以大黄为君药的方剂主要有大黄附子汤、大黄甘草汤、大承气汤等, 临幊制剂主要有一清胶囊、麻仁丸、苦黄注射剂等, 因此, 发生药物相互作用的可能性较高。大黄酸作为大黄中重要的活性成分, 研究其对CYP3A酶活性的影响, 可以预测含有大黄的制剂在临幊上可能发生的药物间相互作用, 有效地避免因药物相互作用带来的不良反应和毒副作用, 为临幊安全合理用药提供科学依据。

### 1 材料与仪器

**1.1 实验动物** 清洁级雄性SD大鼠, 体质量(200±20)g, 由复旦大学实验动物科学部提供, 许可证号: SCXK(沪)-2002-0002。

**1.2 实验药物与试剂** 睾酮(美国IL公司); 6β-羟基睾酮(美国IL公司); 葡萄糖-6-磷酸脱氢酶(G-6-PDH, 美国Sigma公司); 6-磷酸葡萄糖(美国Sigma公

司); 氧化型辅酶Ⅱ(美国 Sigma 公司); 乙二胺四乙酸(美国 Sigma 公司); 大黄酸(中国药品生物制品检定所); 甲醇(Fisher 公司, 色谱纯); 实验用的氯化镁溶液等其他试剂均为分析纯, 水为双蒸水。

**1.3 主要仪器** 安捷伦 1100 色谱仪(G1312A 高压二元泵、G1322A 在线脱气机、G1314A 紫外检测器、G1316A 柱温箱、G1313A 自动进样器及色谱工作站, 美国 Agilent 公司); JA2003 型电子天平(上海良平仪器仪表有限公司); DY89-II 型电动玻璃匀浆机(宁波新芝生物科技股份有限公司); BR 4i 高速冷冻离心机(法国 Jouan 公司); Optima L-100 × P 制备型超速离心机[贝克曼库尔特实验系统(苏州)有限公司]; MDF-U32V 型超低温冰箱(日本 SANYO 公司)。

## 2 方法

**2.1 肝微粒体制备** SD 大鼠经乙醚麻醉后, 股动脉放血, 迅速打开腹腔, 用冰冷的 0.9% 氯化钠溶液经门静脉灌洗肝脏至土黄色, 剪下肝脏, 吸干水分, 称质量, 迅速在冰上剪碎, 用  $0.25 \text{ mol} \cdot \text{L}^{-1}$  冰冷蔗糖溶液冲洗 3 次, 纱布过滤, 按 1:4 比例加入  $0.25 \text{ mol} \cdot \text{L}^{-1}$  冰冷蔗糖溶液, 在冰浴上进行电动匀浆,  $4^\circ\text{C}$  下  $10\,000 \times g$  离心 30 min, 取上清液转移至超速离心管内  $4^\circ\text{C}$  下  $100\,000 \times g$  离心 60 min, 沉淀即为肝微粒体<sup>[7,8]</sup>, 于每克沉淀中加入 pH 为 7.4 的磷酸缓冲液 0.5 mL 重悬, 定量分装, 置  $-80^\circ\text{C}$  冰箱内保存备用。采用 BCA Protein Assay Kit 试剂盒测定微粒体蛋白浓度。

**2.2 色谱条件** 色谱柱: Inertsil ODS-3 柱( $250 \text{ mm} \times 4.6 \text{ mm}, 5 \mu\text{m}$ ); 流动相: 甲醇(A)-水(B); 梯度洗脱条件: 0→11 min, 56%→58% (A); 11→11.5 min, 58%→80% (A); 11.5→19.5 min, 80% (A); 19.5→20 min, 80%→56% (A); post time 为 5 min; 流速:  $1.0 \text{ mL} \cdot \text{min}^{-1}$ ; 柱温:  $30^\circ\text{C}$ ; 检测波长: 245 nm; 进样量:  $50 \mu\text{L}$ 。

**2.3 肝微粒体体外孵育体系** 终体积为  $200 \mu\text{L}$  的体外孵育体系包括微粒体蛋白( $0.5 \text{ mg} \cdot \text{mL}^{-1}$ )、氯化镁( $\text{MgCl}_2$ )溶液  $3 \text{ mmol} \cdot \text{L}^{-1}$ 、乙二胺四乙酸(EDTA)  $1 \text{ mmol} \cdot \text{L}^{-1}$ 、水、pH 为 7.4 的磷酸缓冲液( $50 \text{ mmol} \cdot \text{L}^{-1}$ )和不同浓度的药物。 $37^\circ\text{C}$  水浴中预孵育 5 min, 加入由 G-6-PDH ( $1 \text{ U} \cdot \text{mL}^{-1}$ )、辅酶Ⅱ(NADP) $1 \text{ mmol} \cdot \text{L}^{-1}$  和 G-6-P( $5 \text{ mmol} \cdot \text{L}^{-1}$ )组成的还原型辅酶Ⅱ(NADPH)再生液, 启动反应, 孵育 40 min。用冰甲醇  $200 \mu\text{L}$  终止反应, 涡旋震荡 30 s,  $16\,000 \times g$  离心 15 min, 取上清液  $50 \mu\text{L}$  进样, 整个体系控制有机溶剂在 1% 以内。

**2.4 孵育时间与微粒体蛋白浓度的优化 睾酮浓度**

为  $100 \mu\text{mol} \cdot \text{L}^{-1}$  时, 选用  $0.10, 0.25, 0.50$  和  $0.80 \text{ mg} \cdot \text{mL}^{-1}$  的微粒体蛋白, 孵育时间分别为 10, 20, 40 和 60 min, 进行体外孵育, 处理同上述“2.3”项。测定代谢产物  $6\beta$  羟基睾酮的生成量, 考察代谢产物生成量与孵育时间及蛋白浓度之间的线性关系。

**2.5 睾酮米氏常数  $K_m$  的测定** 取终浓度分别为  $20, 40, 80, 120, 160$  和  $200 \mu\text{mol} \cdot \text{L}^{-1}$  的睾酮进行孵育, 处理同上述“2.3”项。测定代谢产物  $6\beta$  羟基睾酮的量, 计算  $6\beta$  羟基睾酮的生成速率, 按照非线性回归作图, 计算睾酮的米氏常数<sup>[9]</sup>。

## 2.6 $IC_{50}$ 值测定

**2.6.1 阳性抑制药的  $IC_{50}$  值测定** 将 CYP3A 酶的特异性抑制药酮康唑, 终浓度依次为  $0.1, 0.2, 0.4, 0.8, 1.2$  和  $1.6 \mu\text{mol} \cdot \text{L}^{-1}$ , 与底物共同孵育, 每批包括一个对照(不含抑制药), 孵育处理同上述“2.3”项。测定代谢产物  $6\beta$  羟基睾酮的峰面积, 以  $6\beta$  羟基睾酮的浓度与对照样品中  $6\beta$  羟基睾酮浓度的比值, 即相对活性百分比作为纵坐标, 酮康唑浓度的对数值为横坐标, 按照非线性回归, 作图并计算  $IC_{50}$  值, 对方法学进行验证。

**2.6.2 大黄酸的  $IC_{50}$  值测定** 将终浓度依次为  $5, 10, 25, 50, 75$  和  $100 \mu\text{mol} \cdot \text{L}^{-1}$  的大黄酸与  $100 \mu\text{mol} \cdot \text{L}^{-1}$  的睾酮共同孵育, 孵育处理方法同上述“2.6.1”项, 按照非线性回归, 作图并计算  $IC_{50}$  值。

**2.7 大黄酸的  $K_i$  值测定** 大黄酸分别取 4 种不同的浓度, 依次为  $0, 10, 40$  和  $80 \mu\text{mol} \cdot \text{L}^{-1}$ , 睾酮为  $50, 100$  和  $150 \mu\text{mol} \cdot \text{L}^{-1}$  3 种不同的浓度, 孵育处理同上述“2.3”项。根据 Lineweave-Burk(双倒数作图法)方程<sup>[10]</sup>, 以  $1/[S]$  为横坐标,  $1/[V]$  为纵坐标, 绘制大黄酸的抑制作用动力学曲线并计算  $K_i$  值。

## 3 结果

**3.1  $6\beta$  羟基睾酮定量检测标准曲线方程**  $6\beta$  羟基睾酮按照以下浓度:  $1.0, 2.5, 5.0, 10.0, 15.0$  和  $20.0 \mu\text{mol} \cdot \text{L}^{-1}$  加入到孵化体系中, 不加底物和抑制药, 孵育处理同上述“2.3”项。以  $6\beta$  羟基睾酮的量浓度( $X$ )与其峰面积( $Y$ )计算进行线性回归, 得到回归方程为  $Y = 16.949 X - 0.191 (r=1)$ 。按照上述“2.2”项色谱方法,  $6\beta$  羟基睾酮的保留时间为  $12.5 \text{ min}$ 。

**3.2 孵育时间及微粒体蛋白浓度的优化** 在保证蛋白浓度和孵育时间与代谢产物  $6\beta$  羟基睾酮形成量在线性范围内, 及高效液相色谱(HPLC)检测  $6\beta$  羟基睾酮在最低定量限之上的同时, 尽量选择低的蛋白浓度。通过图 1 和 2, 可以选择微粒体蛋白浓度为  $0.5 \text{ mg} \cdot \text{mL}^{-1}$ , 孵育时间为 40 min。

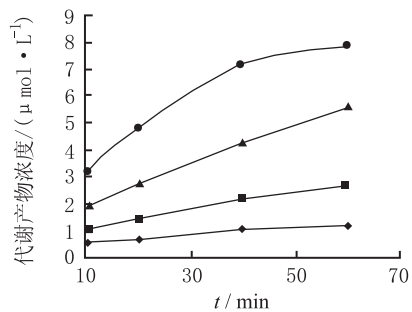


图1 孵育时间与代谢产物形成量在不同的蛋白浓度下的关系

◆ 蛋白浓度  $0.10 \text{ mg} \cdot \text{mL}^{-1}$  ■ 蛋白浓度  $0.25 \text{ mg} \cdot \text{mL}^{-1}$   
 ▲ 蛋白浓度  $0.50 \text{ mg} \cdot \text{mL}^{-1}$  ● 蛋白浓度  $0.80 \text{ mg} \cdot \text{mL}^{-1}$

Fig. 1 The relationship between incubation time and metabolite formation with different concentrations of rat liver microsome

◆ protein  $0.10 \text{ mg} \cdot \text{mL}^{-1}$  ■ protein  $0.25 \text{ mg} \cdot \text{mL}^{-1}$   
 ▲ protein  $0.50 \text{ mg} \cdot \text{mL}^{-1}$  ● protein  $0.80 \text{ mg} \cdot \text{mL}^{-1}$

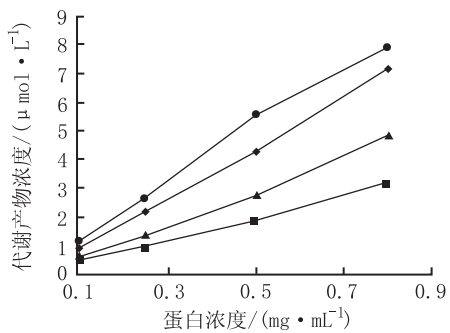


图2 蛋白浓度与代谢产物形成量在不同的孵育时间下的关系

■ 孵育时间 10 min ▲ 孵育时间 20 min  
 ◆ 孵育时间 40 min ● 孵育时间 60 min

Fig. 2 The relationship between metabolite formation and different concentrations of rat liver microsome within various incubation time

■ time 10 min ▲ time 20 min  
 ◆ time 40 min ● time 60 min

3.3 睾酮的米氏常数和酮康唑的  $IC_{50}$  值 通过 Michaelis-Menten 方程计算出睾酮的米氏常数为  $(94.19 \pm 17.40) \mu\text{mol} \cdot \text{L}^{-1}$ , 反应速度  $V_{max}$  为  $(0.3351 \pm 0.0271) \mu\text{mol} \cdot \text{min}^{-1} \cdot \text{mg}^{-1}$  (图 3)。以酮康唑的浓度对数值为横坐标, CYP3A 酶的相对剩余活性为纵坐标作图(图 4), 即可以计算酮康唑对 CYP3A 酶亚型的  $IC_{50}$  值, 为  $0.48 \mu\text{mol} \cdot \text{L}^{-1}$ , 与文献[11,12]报道的值接近。

3.4 大黄酸对 CYP3A 酶亚型的  $IC_{50}$  值 用大黄酸的对数浓度和 CYP3A 酶的相对剩余活性作图(图 5), 即可以计算出大黄酸对 CYP3A 酶亚型的  $IC_{50}$  值为  $36.74 \mu\text{mol} \cdot \text{L}^{-1}$ 。

3.5 大黄酸对 CYP3A 酶亚型的  $K_i$  值 以睾酮的浓度倒数为横坐标, 代谢产物的速率倒数为纵坐标作图(图 6), 每个样平行做两次, 其变异系数均在 10% 以内。即可以计算大黄酸对 CYP3A 酶的  $K_i$  值为  $20.73 \mu\text{mol} \cdot \text{L}^{-1}$ 。

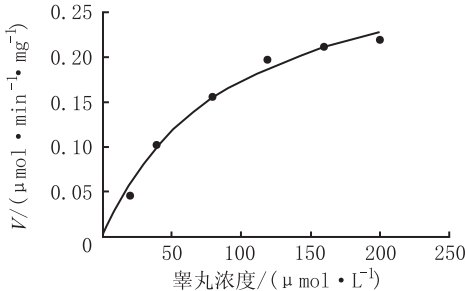


图3 睾酮的米-曼方程曲线

Fig. 3 The curve of metabolic rate of CYP3A enzyme with various concentrations of testosterone

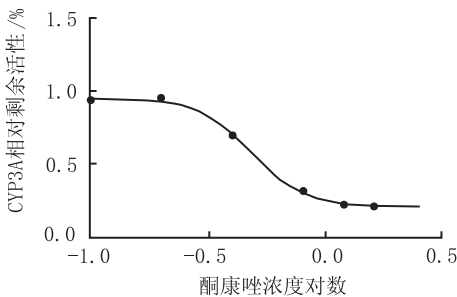


图4 酮康唑对 CYP3A 酶抑制作用曲线

Fig. 4 Effect of increasing concentrations of ketoconazole on CYP3A4 activity

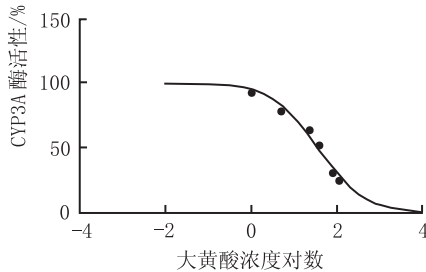


图5 大黄酸对 CYP3A 抑制作用曲线

Fig. 5 Inhibitory effect of increasing concentration of rhein on CYP3A activity

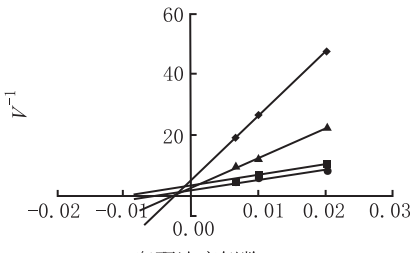


图6 大黄酸对 CYP3A 酶抑制作用的米-曼方程的双倒数曲线

● 0  $\mu\text{mol} \cdot \text{L}^{-1}$  ■ 10  $\mu\text{mol} \cdot \text{L}^{-1}$   
 ▲ 40  $\mu\text{mol} \cdot \text{L}^{-1}$  ● 80  $\mu\text{mol} \cdot \text{L}^{-1}$

Fig. 6 Lineweaver-Burk plots showing the inhibition of testosterone metabolism via rat liver microsomes by rhein

## 4 讨论

药物体外代谢研究中,预测药物对 CYP450 酶的抑制作用通常是看其对一个特异性探针底物在体外代谢体系(如肝微粒体和重组 cDNA 表达的 CYP450 酶)中代谢的影响程度,判断该药物对 CYP450 酶的抑制作用,从而预测它在体内可能引起的药物相互作用,为临床进一步研究药物相互作用提供有价值的信息<sup>[13]</sup>。

本研究中选取 CYP3A 特异性抑制药酮康唑与底物睾酮共同孵育,所得到的  $IC_{50}$  值与文献[11,12]报道的相近,验证了该孵育及检测方法的可靠性。同时选择了低浓度的微粒体蛋白,避免因底物及抑制药与蛋白产生非特异性的结合,影响体系中的游离浓度而导致结果的偏差。

本研究中底物浓度的选择(接近其  $K_m$  值),孵育时间和蛋白浓度与代谢产物的形成量均在线性范围内,同时控制底物的消耗在 30% 以内等相关要求都是完全参照美国食品药品管理局(FDA)《药物相互作用研究指南》2006 年版<sup>[14]</sup>进行。这为研究大黄酸对 CYP3A 酶亚型体外抑制作用提供了准确的方法保障。

目前,中药的代谢性相互作用已经成为研究热点。程泽能等<sup>[15]</sup>通过人体内试验,发现正常剂量使用止咳橘红颗粒对 CYP3A4 的活性有较弱的抑制作用,能够导致 CYP3A4 底物咪达唑仑代谢的轻微抑制。MAKINO 等<sup>[16]</sup>通过体外实验研究发现,小青龙汤能够抑制 CYP3A 的活性,同时在大鼠体内,能够使与之联合使用的硝苯地平的  $C_{max}$  和  $AUC$  均上升,产生代谢性相互作用。本研究发现大黄酸在体外对 CYP3A 存在抑制作用,其  $IC_{50}$  和  $K_i$  均  $< 50 \mu\text{mol} \cdot \text{L}^{-1}$ ,大黄酸在体内对肝 CYP3A 酶活性的影响还有待进一步研究。临幊上当 CYP3A4 底物类药物如红霉素、他汀类药物、硝苯地平、环孢素等与含有大黄酸的制剂合并用药时,应考虑到可能存在潜在的代谢性药物相互作用。

[DOI] 10.3870/yydb.2010.03.003

### 〔参考文献〕

- [1] 余佳, 吴晓晴, 孙海峰, 等. 大黄酸及其衍生物的生物活性研究进展[J]. 药学与临床研究, 2008, 16(2): 125-128.
- [2] 刘凯, 郑海生. 大黄酸的药理作用研究述略[J]. 中医药学刊, 2004, 22(9): 1732-1734.
- [3] HUANG Q, LU G, SHEN H M, et al. Anti-cancer properties of anthraquinones from rhubarb [J]. *Med Res Rev*, 2007, 27(5): 609-630.
- [4] LYNCH T, PRICE A. The effect of cytochrome P<sub>450</sub> metabolism on drug response, interactions, and adverse effects[J]. *Am Fam Physician*, 2007, 76 (3): 391-

396.

- [5] ZHOU S, YUNG C S, CHER G B, et al. Mechanism-based inhibition of cytochrome P<sub>450</sub> 3A4 by therapeutic drugs[J]. *Clin Pharmacokinet*, 2005, 44 (3): 279-304.
- [6] IWATA H, TEZUKA Y, USIA S, et al. Inhibition of human liver microsomal CYP3A4 and CYP2D6 by extracts from 78 herbal medicines [J]. *J Tradit Med*, 2004, 21 (6): 42-52.
- [7] VANDERHOEVEN T A, COON M J. Preparation and properties of partially purified cytochrome P<sub>450</sub> and reduced nicotinamide adenine dinucleotide phosphate-cytochrome P<sub>450</sub> reductase from rabbit liver [J]. *J Biol Chem*, 1974, 249(19): 6302-6310.
- [8] LU A Y, COON M J. Role of hemoprotein P<sub>450</sub> in fatty acid omega-hydroxylation in a soluble enzyme system from liver microsomes[J]. *J Biol Chem*, 1968, 243(6): 1331-1332.
- [9] ZIENTEK M, MILLER H, SMITH D, et al. Development of an *in vitro* drug-drug interaction assay to simultaneously monitor five cytochrome P<sub>450</sub> isoforms and performance assessment using drug library compounds[J]. *J Pharmacol Toxicol Methods*, 2008, 58(3): 206-214.
- [10] PEKTHONG D, MARTIN H, ABADIE C, et al. Differential inhibition of rat and human hepatic cytochrome P<sub>450</sub> by andrographis paniculata extract and andrographolide [J]. *J Ethnopharmacol*, 2008, 115(3): 432-440.
- [11] TURPEINEN M, UUSITALO J, JALONEN J, et al. Multiple P<sub>450</sub> substrates in a single run: rapid and comprehensive *in vitro* interaction assay[J]. *Eur J Pharm Sci*, 2005, 24(1): 123-132.
- [12] WALSKY R L, OBACH R S. Validated assays for human cytochrome P<sub>450</sub> activities[J]. *Drug Metab Dispos*, 2004, 32(6): 647-660.
- [13] MICUDA S, MUNDLOVA L, ANZENBACHEROVA E, et al. Inhibitory effects of memantine on human cytochrome P<sub>450</sub> activities: prediction of *in vivo* drug interactions[J]. *Eur J Clin Pharmacol*, 2004, 60(8): 583-589.
- [14] 刘治军, 傅得兴, 汤光. FDA 药物相互作用研究指南(草案)2006 版解读[J]. 国际药学研究杂志, 2008, 35 (1): 50-58.
- [15] 程泽能, 张华奎, 李菲, 等. 中药止咳橘红颗粒对 CYP3A4 和 CYP1A2 抑制作用的研究[J]. 中国临床药理学杂志, 2002, 18(3): 215-218.
- [16] MAKINO T, MIZUNO F, MIZUKAMI H. Does a kampo medicine containing schisandra fruit affect pharmacokinetics of nifedipine like grapefruit juice[J]. *Biol Pharm Bull*, 2006, 29(10): 2065-2069.